



معطالعه اثرات پیوند هیدروژنی روی پارامترهای NQR هسته‌های ^2H , ^{14}N , ^{17}O در ساختار بلوری سالیسیلات اکسیم با استفاده از نظریه تابعی چگالی

نرمین نورانی^{*}، پخشان اسپوکه^آ، هدایت راحمی^۳

^۱دانشگاه پیام نور، مرکز ارومیه، گروه شیمی

^۲دانشگاه تبریز، گروه فیزیک

^۳موسسه آموزش عالی نژند، ارومیه، گروه شیمی

تاریخ ثبت اولیه: ۱۳۸۹/۱۰/۹، تاریخ دریافت نسخه اصلاح شده: ۱۳۸۹/۱۱/۲۰، تاریخ پذیرش قطعی: ۱۳۸۹/۱۱/۲۳

چکیده

اثرات پیوند های هیدروژنی درون مولکولی $\text{N}-\text{O}-\text{H} \dots \text{O}$ و زنجیره ای بین مولکولی $\text{O}-\text{H} \dots \text{O}$ بر روی ساختار کریستالی سالیسیلات اکسیم (Salicylaldoxime) توسط نظریه تابع چگالی (DFT) مطالعه قرار گرفته است. برای این منظور ساختمان های مونومر و پلیمر سالیسیلات اکسیم موجود در شبکه توسط Gaussview با تقارن C_i شیوه سازی شده سپس ساختار آن ها با استفاده از برنامه کامپیوتری Gaussian طبق روش های ^{17}O - $^{311}\text{G}^{**}$ و ^{17}O - ^{311}B طبق روش های ^{17}O - $^{311}\text{G}^{**}$ و ^{17}O - ^{311}B در دمای ۱۳۰ کلوین برای هسته های ^2H , ^{14}N , ^{17}O محاسبه شده اند. قطبی هسته (C_Q) و پارامتر نامتقارن (Q) بر روی ساختار کریستالی آن در دمای ۱۳۰ کلوین برای هسته های ^2H , ^{14}N , ^{17}O محاسبه شده اند. نتایج نشان می دهد که به دلیل برهمکنش قوی پیوند های هیدروژنی $\text{N}-\text{O}-\text{H} \dots \text{O}$ ، $\text{O}-\text{H} \dots \text{O}$ ، $\text{O}-\text{H} \dots \text{N}$ در هسته های $^{17}\text{O}_{51}$, $^{17}\text{O}_{52}$, $^{2}\text{H}_{12}$, $^{2}\text{H}_{51}$, $^{2}\text{H}_{52}$, $^{14}\text{N}_{21}$, $^{14}\text{N}_{22}$ تغییرات چشمگیری را از مونومر به پلیمر نشان می دهند.

واژه های کلیدی: نظریه تابع چگالی (DFT)، طیف سنجی تشدید چهار قطبی هسته (NQR)، سالیسیلات اکسیم (Salicylaldoxime).

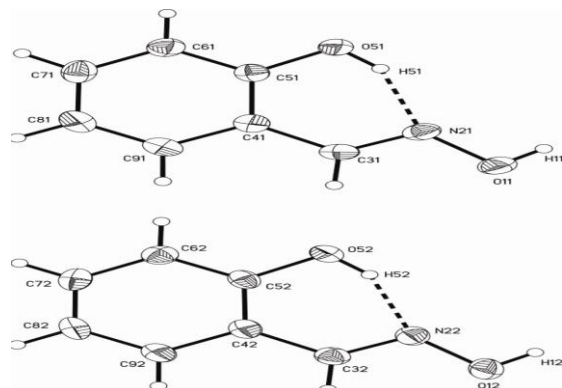
۱. مقدمه
دو مولکول هر کدام با پیوند هیدروژنی داخل حلقه ای یک واحد نا متقارن سالیسیلات اکسیم تشکیل را می دهد (شکل-۱). در شبکه هر مولکول سالیسیلات اکسیم علاوه بر پیوند هیدروژنی

مشتقات سالیسیلات اکسیم به صورت پیوند هیدروژنی داخل حلقه ای و طرح زنجیره ای متبلور می شوند، (شکل های ۱ و ۲).

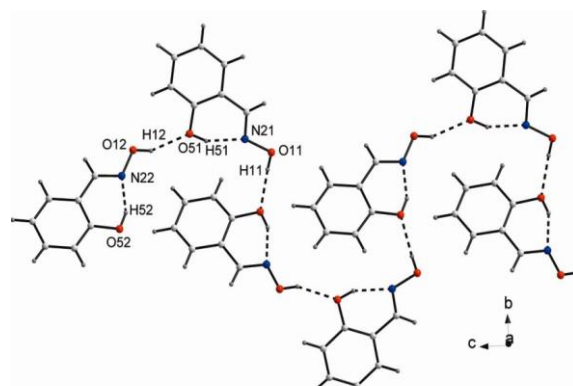
* عهدہ دار مکاتبات: نرمین نورانی
نشانی: ارومیه - دانشگاه پیام نور - گروه شیمی
تلفن: ۰۹۱۴۴۴۴۲۲۵۳ - پست الکترونیک: E-mail: Nnorani1@yahoo.com

به علت طبیعت الکتروستاتیکی پیوند هیدروژنی ، عواملی که در توزیع بار پیرامون هسته دخیل هستند ماهیت الکتروستاتیکی دارند می توانند تکنیکهای مطمئنی برای توصیف طبیعت پیوند هیدروژنی باشند. اسپکتروسکوپی تشید چهارقطبی هسته ای ، NQR، به عنوان یک تکنیک چند منظوره جهت مطالعه جزئیات توزیع بار هسته ای و الکتریکی پیرامون هسته های مورد علاقه بنا نهاده شده است [۱۱-۱۲]. هر هسته با تکانه زاویه ای اسپینی بیشتر از $1/2$ ، $1/2$ علاوه بر گشتاور دو قطبی هسته ای، گشتاور چهار قطبی الکتریکی هسته ای eQ هم دارد یک چنین هسته ای اگر در میدان الکتریکی ناهمگن قرار بگیرد به علت نامتقارن بودن توزیع بار الکترون ها بین گشتاور چهار قطبی الکتریکی eQ آن هسته و گرادیان میدان الکتریکی EFG برهمکنش الکتروستاتیکی ایجاد می شود این بر همکش اساس طیف سنجی رزنانس چهار قطبی هسته ای ، NQR، افزایش است [۱۲]. تansورهای گرادیان میدان الکتریکی (EFG) ایجاد می شود در روی هسته های چهار قطبی پارامترهای فیزیکی مهمی برای شناخت محیط شیمیابی و ساختار مولکولی در اختیار می گذارند . توان این اثرات متقابل بستگی به بزرگی eQ و ویژه مقادیر EFG دارد که می تواند به طور تجربی با اسپکتروسکوپی تشید چهار قطبی هسته (NQR) اندازه گیری شود. اما حساسیت بالا برای محیط الکتروستاتیکی هسته ، ساختارهای الکترونیکی و برهمکشتهای درون مولکولی مثل پیوند هیدروژنی (HB) می تواند یک اثر قابل توجه روی تansورهای EFG ایجاد کند. محاسبات مکانیک کوانتومی پیشرفته تansورهای EFG را در سیستم محورهای اصلی ، PAS، محاسبه می کند که از جمله پارامترهای قابل اندازه گیری NQR ثابت جفت شدگی چهار قطبی هسته ای (C_Q) و پارامتر نامتقارن (η) هستند. در این کار تansورهای EFG را در هسته های اکسیژن، نیتروژن و هیدروژن برای مطالعه ویژگی های برهمکنش HB گروههای $O-H-O$ و $N-H-O$ در سالیسیلات اکسیم مورد مطالعه قرار خواهیم داد. برای این هدف از ساختار بلوری سالیسیلات اکسیم در دمای ۱۳۰ کلوین که از مطالعه اشعه X بدست آمده است [۱] برای بهینه نمودن ساختار سه مولکول (شکل ۱-۱ و ۱-۲) سود برده و بررسی سیستماتیک ویژگیهای

داخل حلقه ای به صورت پیوند هیدروژنی زنجیره ای و متقارن قرار می گیرد . هر واحد متقارن شبکه از دو مولکول نا متقارن (شکل-۱) تشکیل شده که از بر همکنش های اوربیتال های $\pi-\pi$ بین مولکول ها در زنجیر نتیجه شده اند. در سالیسیلات اکسیم پیوند های هیدروژنی زنجیره ای بیشتر از پیوند های هیدروژنی درون حلقوی با اهمیت هستند. دو مولکول واحد نا متقارن سالیسیلات اکسیم (شکل-۱) به صورت یک در میان درامتداد زنجیره پیوند هیدروژنی $O-H-O$ بین مولکولی (شکل-۲) قرار گرفته اند. و همچنین پیوند های هیدروژنی فنولی درون مولکولی $N-H-O$ شکل می گیرند. بر همکنش زنجیره ها با همدیگر از طریق پیوند $\pi-\pi$ بین دو مولکول نا متقارن ایجاد می شود که نتیجه این اثرات متقابل $\pi-\pi$ در اتمهای حلقه فنیل ، فاصله $(^{17}O_{12})$ مولکول ۲ از $(^{17}O_{11})$ مولکول ۱ بین 3.394\AA و 2.69\AA خواهد بود و زاویه دی هدرال بین دو سطح فنیل است [۱-۷].



شکل ۱- دو مولکول تشکیل دهنده واحد نا متقارن سالیسیلات اکسیم.



شکل ۲- زنجیره پیوند هیدروژنی در شبکه سالیسیلات اکسیم.

هستند، (جدول-۱). باید توجه داشت که طول پیوند و زوایای پیوندی محاسبه شده در فاز گازی بوده و انرژی های شبکه منظور نشده اند و با مقادیر تجربی مقایسه شده اند تفاوت کمی بین مقادیر محاسباتی و روش تجربی وجود دارد و در کل با افزایش قطیبت و نفوذ پذیری سری های پایه به مقادیر تجربی نزدیک تر می شویم . برای مقایسه نزدیکتر طول پیوندهای در گیر در پیوندهای هیدروژنی در (جدول-۲) زیر مرتب شده اند و مقایسه نشان میدهد که طول پیوند H—O داخل حلقه از مونومر به پلی مر کاهش یافته و طول پیوند H—O از مونومر به زنجیر افزایش یافته است در صورتیکه طول پیوند هیدروژنی از مونومر به پلی مر در حدود ۱٪ کاهش نشان می دهد و طبیعی است که دانسیته بار الکترونی روی هسته های ^{17}O ، ^{14}N ، ^2H تغییر یافته و گرادیان نیز تحت تاثیر قرار خواهد گرفت.

در زنجیر مونومرهای ۱ و ۲ بطور یک در میان قرار گرفته و دارای دو نوع ۱- پیوند هیدروژنی درون حلقه ای -O51- ۱۵۵...N21...H51... با زاویه 152° و ۲- پیوند هیدروژنی بین مولکولی-O11...O52...H11... با زاویه 156° خواهیم داشت و طبیعتاً اتم های سازنده پیوندهای هیدروژنی ^{17}O ، ^{14}N ، ^2H گرادیان میدان الکتریکی متفاوتی را تجربه خواهند کرد و بزرگی این تغییرات برای هر هسته بستگی به سهم آن در بر همکنش های متقابل دارد (شکل های ۱ و ۲).

۱-۳. تانسورهای گرادیان میدان الکتریکی

عناصر تانسور های EFG هسته های مورد نظر را با استفاده از DFT/B3LYP/6-311++G** را با نرم افزار گوسین و با همان روش محاسبه نموده و بعد از قطعی نمودن کمیات q_{xx} ، q_{yy} ، q_{zz} بدست آوردیم. با استفاده از معادلات (۱) و (۲) پارامترهای NQR که شامل ثابت جفت شدگی چهار قطبی هسته C_Q و پارامترهای نامتقارن η_Q اند. مقادیر محاسبه شده C_Q و η_Q در هسته های ^2H ، ^{17}O ، ^{14}N در (جدول-۳) لیست شده است. متاسفانه اطلاعات تجربی پارامترهای

پیوند هیدروژنی HB گروههای O—H...O و N—H...O را انجام خواهیم داد.

۲. روش های محاسباتی

در این کار از برنامه های کامپیوترا Gaussian view 03 [۱۳] استفاده شده و همه محاسبات شیمی کوانتوسی براساس روش DFT و روش B3LYP و سری های پایه 6-311⁺⁺G** ، 6-311⁺G* محسوبات شیمی کوانتوسی روی ساختارهای بهینه شده مولکول های مورد نظر جهت ارزیابی تانسورهای EFG هسته های ^{17}O ، ^{14}N ، ^2H سالیسیلات اکسیم در حالت پلیمری شامل محتمل ترین برهمکنش متقابل پیوند هیدروژنی بین مولکولی است. تانسورهای EFG در سیستم محورهای اصلی، PAS، با استفاده از معادلات (۱) و (۲) برای ارزیابی پارامترهای تجربی (C_Q) و (η_Q) محاسبه شده اند.

$$C_Q = (\text{MHz}) = e^2 Q q_{zz} h^{-1} \quad (1)$$

$$\eta_Q = \left| \frac{q_{xx} - q_{yy}}{q_{zz}} \right| \quad 0 \leq \eta_Q \leq 1 \quad (2)$$

مقادیر استاندارد گشتاور چهارقطبی هسته، C_Q ، گزارش شده توسط [۱۵،۱۴] در معادله (۱) مطابق زیر است :

$$Q(^{17}\text{O})=25.58\text{mb}, Q(^{14}\text{N})=20.44\text{mb}, \text{and } Q(^2\text{H})=2.86 \text{ mb}$$

۳. بحث و نتایج ساختاری

با استفاده از نرم افزار گوسین و ساختار کریستالی سالیسیلات B3LYP اکسیم در دمای K ۱۳۰ برای هر سه مولکول به روش DFT/ و مجموعه توابع پایه 6-311⁺⁺G** و 6-311⁺G* بهینه شدند ، انتخاب سری های پایه و روش محاسباتی بر روی مقادیر بدست آمده تاثیر مستقیم دارند و همانطوری که انتظار می رفت نتایج حاصل از سری های پایه 6-311⁺⁺G** و 6-311⁺G* دقيق تر از

NQR برای هسته هیدروژن و نیتروژن و اکسیژن در مولکول های سالیسیلات اکسیم برای مقایسه با مقادیر محاسبه شده وجود ندارند.

جدول ۱- پارامترهای ساختاری مولکول های شکل ۱ و ۲

Distance and bond angle	Crystalline data	Optimization	
		6-311+G*	6-311++G**
Monomer 1			
rO11-H11 (Å)	۰/۸۱(۲)	۰/۹۷	۰/۸۲
rO51-H51	۰/۸۶(۲)	۰/۹۹	۰/۸۵
rH51...N21	۱/۸۵(۲)	۱/۴۲	۱/۸۶
Monomer 2			
rO12-H12	۰/۸۷(۲)	۰/۹۷	۰/۸۷
rO52-H52	۰/۸۶(۲)	۰/۹۹	۰/۸۵
rH52...N22	۱/۸۴(۲)	۱/۳۷	۱/۸۶
Polymer			
rO11-H11 (Å)	۰/۸۱(۲)	۰/۸۴	۰/۸۲
rO51-H51	۰/۸۶(۲)	۰/۹۱	۰/۸۷
rH51...N21	۱/۸۵(۲)	۱/۴۵	۱/۸۵
rO12-H12	۰/۸۱(۲)	۰/۸۳	۰/۸۲
rO52-H52	۰/۸۶(۲)	۰/۹۲	۰/۸۶
rH52...N22	۱/۸۴(۲)	۱/۳۱	۱/۸۴
rH11...O52	۲/۰۱(۲)	۲/۲۶	۲/۰۱
rH12...O51	۱/۹۹(۲)	۲/۰۹	۱/۹۹
rO11-H11...O52	۲/۸۱۳۷(۲)	۲/۷۲	۲/۸۲
rO12-H12...O51	۲/۷۹۴۵(۲)	۲/۶۸	۲/۸۰
rO51-H51...N21	۲/۶۳۸۴(۲)	۲/۳۴	۲/۹۴
rO52-H52...N22	۲/۶۲۸۵(۲)	۱/۷۸	۲/۹۵
$\angle O11-H11...O52 (^\circ)$	۱۷۶(۲)	۱۲۱	۱۷۶
$\angle O12-H12...O51$	۱۵۵(۲)	۱۱۶	۱۵۶
$\angle O51-H51...N21$	۱۵۲(۲)	۱۱۵	۱۵۲
$\angle O52-H52...N22$	۱۵۳/۴(۲)	۱۲۴	۱۵۵

جدول ۲- مقایسه طول پیوند های درگیر در مونومر و پلیمر.

Mono 1	Poly	Mono 2	Poly
rO11-H11	۰/۸۲	۰/۸۲	۰/۸۷
rO51-H51	۰/۸۵	۰/۸۷	۰/۸۵
rH51...N21	۱/۸۶	۱/۸۵	۱/۸۶

جدول ۳- ثابت های جفت شدگی چهارقطبی (C_Q) و پارامترهای نامتقارن (η_Q).

Nucleus	Basis set	C_Q (MHz)		η_Q	
		Monomer	Polymer	Monomer	Polymer
N21	6-311+G*	۵/۱۸	۴/۳۳	۰/۷۴	۰/۹۹
	6-311++G**	۵/۲۶	۴/۴۴	۰/۷۲	۰/۹۷
N22	6-311+G*	۵/۱۸	۴/۸۹	۰/۷۴	۱/۱۹
	6-311++G**	۵/۲۶	۴/۹۲	۰/۷۲	۱/۱۸
O11	6-311+G*		۱۳/۷۰		۰/۸۲
	6-311++G**		۱۳/۳۶		۰/۸۶
O12	6-311+G*		۱۰/۸۰		۱/۵۵
	6-311++G**		۱۰/۵۷		۱/۵۶
O51	6-311+G*	۸/۹۱	۹/۴۸	۱/۵۱	۱/۳۱
	6-311++G**	۸/۷۹	۹/۳۹	۱/۵۰	۱/۳۰
O52	6-311+G*	۱۳/۸۳	۱۳/۴۲	۰/۸۱	۲/۷۷
	6-311++G**	۱۳/۴۹	۱۳/۵۷	۰/۸۵	۲/۷۶
H11	6-311+G*		۰/۴۶		۲/۵۸
	6-311++G**		۰/۴۸		۲/۶۰
H12	6-311+G*		۰/۳۱		۲/۶۷
	6-311++G**		۰/۳۰		۲/۶۵
H51	6-311+G*	۰/۴۴	۰/۳۲	۲/۷۹	۲/۷۵
	6-311++G**	۰/۴۵	۰/۳۴	۲/۷۸	۲/۷۷
H52	6-311+G*	۰/۴۶	۰/۳۳	۲/۵۹	۲/۹۱
	6-311++G**	۰/۴۸	۰/۳۰	۲/۵۷	۱/۳۴

کنت. بنابراین پارامترهای C_Q و η_Q در موضع 2H ، ^{17}O ، ^{14}N در مخصوصاً در هسته ^{17}O به طور قابل توجهی تحت تاثیر پیوند هیدروژنی از پلیمر به مونومر در شبکه قرار می گیرند، (جدول ۲).

هر مولکول سالیسیلات اکسیم از طریق به اشتراک گذاشتن پیوند های هیدروژنی $O-H-O$ و $O-N-H$ با مولکول های مجاور در شبکه سالیسیلات اکسیم زنجیر هیدروژنی ایجاد می

B3LYP/6-311⁺G*^{**} و 311⁺⁺G*^{**} بھینه کرده و محاسبات تانسورهای EFG و پارامترهای C_Q، η_Q را در هسته های ¹⁴N، ¹⁷O، O₅₂—²H، برای پیوندهای هیدروژنی C_Q—O₅₂—H...N₂₂ انجام دادیم. معلوم شد که طول پیوندها و زوایای پیوند O—H...N₂ نقش اصلی در شبکه کربیستالی سالیسیلات اکسیم داشته و تانسورهای EFG در هسته های ¹⁷O₁₂—H...O₅₁، O₁₂—H...N₂ انجام دادیم. معلوم شد که طول پیوندها و زوایای پیوند O—H...N₂ نقش اصلی در شبکه کربیستالی سالیسیلات اکسیم داشته و تانسورهای EFG در هسته های ¹⁷O₁₁—H...O₅₁، ¹⁷O₁₂—H...O₅₁، ¹⁴N₂₁، ²H₁₁، ²H₅₁، ²H₁₂، ¹⁷O₅₂، ¹⁷O₅₁، ¹⁴N₂₂ را تحت تاثیر قرار می دهد و تغییرات مشاهده شده در مقادیر C_Q، η_Q موید تغییرات گرادیان میدان الکترونی هسته های مورد مطالعه از مونومر به پلیمر است.

۵. مراجع

- [1] P.A. Wood, R.S. Forgan, D. Henderson, S. Parsons, E. Pidcock and P.A. Tasker, J.E. Warren, *Acta Cryst. B.*, **62** (2006) 1099.
- [2] A.E. Koziol and Z.P. Kosturkiewicz, *J. Chem.*, **75** (1984) 58569.
- [3] F.R. Ahmed, S.R. Hall, C.P. Huber and A.C Larson, *Crystallographic Computing*, Munksgaard, Copenhagen, 291 (1970).
- [4] J.K. Maurin, *Acta Cryst. C.*, **50** (1994) 1357.
- [5] L.L. Merritt and E. Schroeder, *Acta Cryst.*, **9** (1956) 194.
- [6] C.E. Pfluger and R.L. Harlow, *Acta Cryst. B.*, **29** (1973) 2608.
- [7] S.H. Simonsen, C.E. Pfluger and C.M. Thompson, *Acta Cryst.*, **272** (1961) 14269.
- [8] B. Nogaj, *J. Phys. Chem.*, **91** (1987) 5863.
- [9] J. Hunt and A.L.M. Hunt, *J. Magn. Reson.*, **22** (1976) 295.
- [10] M.J. Hunt, A.L. Mackay, *J. Magn. Reson.*, **15** (1974) 402.
- [11] J. Murgich, Y. Aray and H.J. Soscum, *J. Phys. Chem.*, **96** (1992) 9198.
- [12] R. Bersohn, *J. Chem. Phys.*, **20** (1952) 1505.
- [13] M.J. Frisch, G.W. Trucks, H.B. Schlegel, G.E. Scuseria, M.A. Robb, J.R. Cheeseman and et.al GAUSSIAN 03, Revision B.01, Gaussian, Inc., Pittsburgh, PA, (2003).
- [14] K. Wolinski, J.F. Hinton and P. Pulay, *J. Am. Chem. Soc.*, **112** (1990) 8251.
- [15] P. Pyykkö, *Mol. Phys.*, **99** (2001) 1617.

برای مشخص شدن ویژگی های بر همکنش پیوند هیدروژنی N—H...O روی گرادیان میدان الکترونی هسته های اتم های در گیر در مولکول سالیسیلات اکسیم از تغییرات عناصر تانسورهای EFG در موضع H³ که بصورت شیمیابی با ¹⁷O₅₂، ¹⁷O₅₁، ¹⁴N₂₂، ¹⁴N₂₁ در پیوند هیدروژنی O—H...O پیوند دارد استفاده شده است. هسته H³ در پیوند هیدروژنی O—H...O از مونومر به پلیمر افزایش یافته و پیوند N...H...O از مونومر به پلیمر از مونومر به پلیمر به مونومر تغییر می دهد و به همین دلیل پارامتر C_Q، H²، 0.12kHz از پلیمر به مونومر در شبکه کاهش نشان داده و دانسیته بار الکترون را در محور پیوند از پلیمر به مونومر تغییر می دهد و به همین دلیل پارامتر C_Q، H³ این تغییرات قابل توجه در عناصر تانسور EFG در هسته H³ قابل مشاهده است و گروه O—H...O نقش اصلی را در اثرات بر همکنش متقابل پیوند هیدروژنی بازی می کند، (جدول-۱) و (شکل-۱ و ۲). مقادیر C_Q برای ²H—¹⁴N₂₂، ²H—¹⁴N₂₁ به ترتیب ۰/۱۲ kHz و ۰/۱۸ kHz از پلیمر به مونومر در شبکه سالیسیلات اکسیم کاهش پیدا می کند، (جدول-۳). C_Q (۱۷O₅₁) و C_Q (۱۷O₅₂) از پلیمر به مونومر در شبکه افزایش پیدا می کند، (شکل-۲). در تائید تغییرات η_Q ۰/۲ در ¹⁷O₅₁ کم می شود. قابل توجه است که تغییرات طول پیوند ¹⁷O₅₁ در میزان چشمگیری روی عناصر تانسورها در پیوند هیدروژنی به ساختار بلور از طریق طول پیوند و زاویه پیوند هیدروژنی —O—H...N اثر می گذارد، مقادیر C_Q هسته های ¹⁴N₂₁، ¹⁴N₂₂ در ¹⁷O₅₁ اثر می گذارد در حالی که ¹⁴N₂₁ در ¹⁷O₅₂ اثر می گذارد، مقادیر C_Q هسته های ¹⁴N₂₂ به ¹⁴N₂₁ به مقدار ۰/۸۲ MHz افزایش و η_Q به اندازه ۰/۲۵ MHz کاهش پیدا می کند. تغییرات پارامترهای C_Q از طریق اثرات متقابل پیوند هیدروژنی در سالیسیلات اکسیم بیشتری است.

۴. نتیجه گیری

با یک کار محاسباتی خواص پیوند هیدروژنی را در ساختار کربیستالی سالیسیلات اکسیم با استفاده از ارزیابی پارامترهای NQR مورد مطالعه قرار دادیم. برای این منظور ساختار مونومر و پلیمر کربیستالی سالیسیلات اکسیم را با استفاده از روش-B3LYP/6-